

学号 2113010127

年级 2021

河海大学

本科毕业论文

新一代 MeV 伽马天文望远镜的高气压 TPC 探测器研究

专 业 应用物理学

姓 名 唐颂蕤

指导教师 柏栋

评 阅 人 毛明禾, 李雷, 韩梅梅

2025 年 5 月
中国 南京

BACHELOR'S DEGREE THESIS OF HOHAI UNIVERSITY

Research on the high-pressure TPC detector of the new generation MeV Gamma Astronomical Telescope

College : Mechanics and Engineering Science

Subject : Applied Physics

Name : Songrui Tang

Directed by : Dr. Dong Bai

NANJING CHINA

郑重声明

本人呈交的毕业论文，是在导师的指导下，独立进行研究工作所取得的成果，所有数据、图片资料真实可靠。尽我所知，除文中已经注明引用的内容外，本设计（论文）的研究成果不包含他人享有著作权的内容。对本设计（论文）所涉及的研究工作做出贡献的其他个人和集体，均已在文中以明确的方式标明。本设计（论文）的知识产权归属于培养单位。

本人签名：_____

日期：_____

摘要

作为电磁波谱中能量最高的辐射形式，伽马射线承载着极端天体物理过程的关键信息，是揭示宇宙物质组成、恒星演化机制及宇宙线起源的核心观测窗口。然而在伽马射线天文观测实验中，长期存在着所谓的“MeV 能量间隙”，即约在 0.1 到 100 MeV 区间内，其间现有实验设备观测灵敏度比其相邻能区相差 1 - 2 个数量级，导致正负电子湮灭线 (511 keV)、放射性核素衰变等关键物理过程的探测长期受限。然而针对 MeV 能段的高精度测量受限于技术发展而停滞不前。其中伽马射线的高能量和角度分辨率、康普顿散射电子的径迹测量对抑制背景干扰和提高灵敏度起到非常关键的作用，是其中的难点，也是新一代 MeV 伽马射线望远镜研究的重点。

为突破这一技术瓶颈，MeV 伽马射线望远镜 (MeGaT) 创新性地融合了两种尖端探测技术：采用高压时间投影室 (TPC) 与像素化碲锌镉 (CZT) 探测器的复合结构。TPC 模块通过微网气体探测器 (Micromegas) 实现康普顿散射电子的高分辨三维径迹重建和损耗能量的测量，可精确反推入射伽马射线的初始方向；像素化 CZT 探测器则凭借优异的高能光子吸收效率与位置灵敏特性，在 1-10 MeV 能段实现优于 1% 的能量分辨率。二者协同工作形成级联探测：TPC 捕获康普顿散射电子并完成初次作用点定位，CZT 探测器记录再沉积光子的精确能量与空间信息，通过双重测量约束大幅降低本底噪声干扰，提高观测的灵敏度。

- (1) MeV 伽马天文物理背景及对装置指标需求；
- (2) MeGaT 实验方案与指标预期；
- (3) MeGaT TPC 方案性能模拟优化；
- (4) TPC 探测器构建与性能研究；
- (5) 数据与模拟对比分析。

关键词： 伽马天文；粒子探测；高能物理；探测技术；MeV 伽马射线望远镜

ABSTRACT

As the highest energy band in the electromagnetic spectrum, gamma rays carry a wealth of information, which is an important way to understand the composition of the universe, the evolution of stars and the origin of cosmic rays. In gamma-ray astronomical observation, there has been a ‘MeV energy gap’, which ranges from 0.1 to 100 MeV, and its sensitivity is 1-2 orders of magnitude lower than that of its neighbouring energy regions. However, high-precision measurements in the MeV energy band have been stagnant due to technological development, and the high energy and angular resolution of gamma rays and Compton scattering electrons are crucial for suppressing background interference and improving the sensitivity. Improve the sensitivity play a very crucial role, which is one of the difficulties and the focus of the research on the new generation of MeV gamma-ray telescopes. Against this background, we propose an innovative MeV Gamma-ray Telescope (MeGaT) experiment. The experiment combines the advantages of Micromegas’ high-pressure TPC (Time Projection Chamber) and the pixel-readout CZT detector, which enables high-resolution 3D traces of Compton scattered electrons. The TPC enables high-resolution 3D trajectory and energy measurements of Compton scattered electrons, which are essential for accurately tracing and analysing the path and energy distribution of gamma rays. Pixel CZT detectors, on the other hand, excel in measuring the energy and position of high-energy gamma rays. Its high sensitivity and fast response characteristics make it ideal for high-energy gamma-ray measurements. By combining these two detection techniques, the MeGaT experiment is able to achieve excellent angular resolution and background suppression. The improved angular resolution means that we are able to locate the source of the gamma rays more accurately, while the enhanced background suppression helps to reduce the interfering signals, thus improving the sensitivity of the observations.

The main research contents of this paper are as follows:

- (1) MeV gamma astrophysical background and device index requirements;
- (2) MeGaT experimental scheme and index expectations;
- (3) MeGaT TPC scheme performance simulation optimization;
- (4) TPC detector construction and performance research;
- (5) data and simulation comparative analysis.

Keywords: Gamma-ray astronomy; particle detection; high-energy physics; detection

technology; MeV Gamma-ray telescopes

目录

摘要	I
ABSTRACT	II
目录	IV
第 1 章 引言	1
1.1 MeV 伽马天文物理背景	1
1.1.1 π 介子鼓包	1
1.1.2 暗物质与原初黑洞	2
1.2 装置指标需求	3
1.2.1 水力模拟研究综述	3
1.3 MeGaT 实验方案与指标预期	3
第 2 章 实验配置	5
2.1 MeGaT 实验方案概述	5
2.2 MeGaT 实验方案性能模拟优化	5
2.3 TPC 探测器构建与性能研究	5
2.4 数据与模拟对比分析	5
2.5 算例分析	5
2.6 本章小结	6
致谢	7

第 1 章 引言

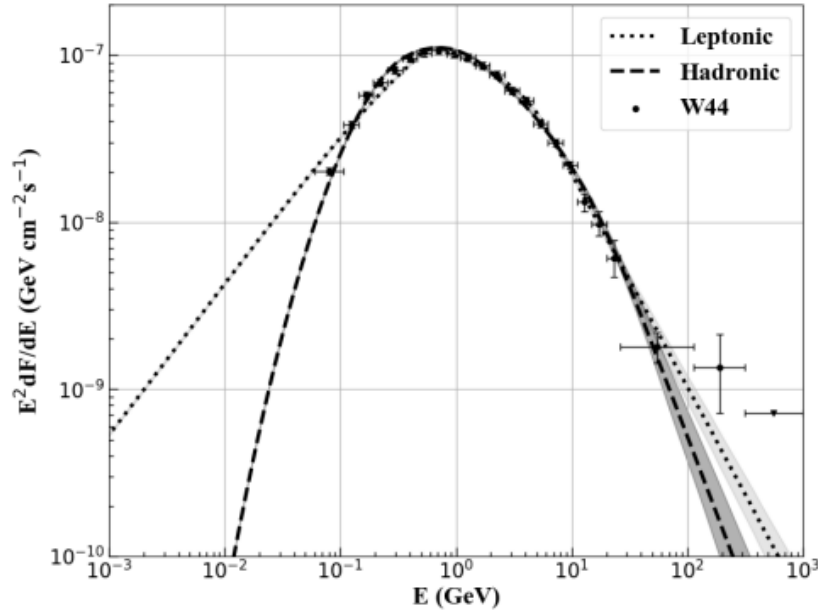
1.1 MeV 伽马天文物理背景

作为高能天体物理研究的重要窗口，MeV 伽马射线天文学正成为探索极端宇宙的新前沿。在伽马射线能谱中，0.1–100 MeV 能段承载着独特的物理信息：该能域覆盖了正负电子湮灭线（511 keV），放射性元素衰变线（如 ^{26}Al 的 1.809 MeV 线）、脉冲星曲率辐射峰值等特征辐射，同时也是研究暗物质粒子湮灭/衰变信号、原初黑洞蒸发效应的关键探测窗口。然而受制于康普顿望远镜的空间分辨限制和探测效率瓶颈，该能段的系统观测长期处于“MeV 能量间隙”的状态，这也使得 MeV 伽马天空仍存在大量未解之谜。因此，开发高能分辨率、大视场、高探测效率的 MeV 伽马望远镜成为高能天文学界的共同迫切需求。

当前学界内围绕该能段已形成若干突破方向：在观测技术层面，康普顿成像与电子追踪技术的结合正在实现 MeV 偏振测量，这将为揭示伽马暴中心引擎结构、耀变体喷流磁流体特性提供新维度；在理论建模方面，MeV 耀变体的特殊光变特征挑战着传统轻子模型，推动着强子主导辐射机制和粒子加速过程的研究；而通过 MeV 谱线巡天发现的银河系暗物质晕湮灭信号，正与 Sub-GeV 能段的原初黑洞蒸发伽马射线形成交叉验证，为解开暗物质本质之谜开辟新路径。这些研究方向共同构成了连接微观粒子物理与宏观宇宙演化的关键纽带，正在重塑我们对极端天体环境、早期宇宙遗迹和基本物理规律的理解框架。

1.1.1 π 介子鼓包

在 MeV 伽马射线天文学的研究框架下，超新星遗迹作为银河系宇宙线加速源的核心地位正经历革命性观测验证。理论模型指出，这类遗迹的激波波前通过扩散激波加速（DSA）机制，可将质子加速至 PeV 能级（即“膝区”能量），其过程中高能质子与星际介质碰撞产生的中性 π^0 介子衰变（ $\pi^0 \rightarrow 2\gamma$ ），会在 γ 射线能谱的 50–200 MeV 区间形成特征性鼓包结构——这被视为宇宙线强子加速过程的“指纹证据”。然而，现有伽马望远镜在 MeV 能段的灵敏度缺失，导致该关键谱形长期无法被完整解析：Fermi-LAT 在 GeV 以上能区虽已观测到多个遗迹的强子辐射成分（如 IC 443 和 W44 中 2.2 MeV 中子俘获线的关联信号），但无法区分 10–300 MeV 能段内轻子同步辐射与强子 π^0 衰变的混合贡献；而 COMPTEL 等早期 MeV 探测器受限于 $> 3^\circ$ 的角分辨率，难以实现致密遗迹的空间分辨谱诊断。

图 1.1 π 介子鼓包

1.1.2 暗物质与原初黑洞

在暗物质本质的百年探寻中，原初黑洞（Primordial Black Holes, PBHs）因其诞生于宇宙早期相变的独特属性，始终占据着候选者名录的核心位置。根据霍金辐射理论，质量在 $10^{16} - 10^{17}g$ 范围内的 PBHs 正处于蒸发末期，其事件视界量子隧穿效应会释放以光子为主导的粒子流，形成特征性的 keV-MeV 能段热辐射谱——这一能域恰与 MeV 伽马天文观测的核心敏感区间高度契合。理论计算表明，单个蒸发 PBH 的瞬时伽马辐射流量在 1 MeV 处可达 $10^{-7} \text{ MeV}/(\text{cm}^2 \text{ s})$ 量级。其全天空累积辐射更可能构成弥漫性 MeV 背景辐射的未解析成分。这使得 MeV 能段成为检验 PBH 暗物质假说的“战略频段”：通过精确测量宇宙伽马背景能谱的软 X 射线至 MeV 能段 (0.1-10 MeV) 的谱形畸变，可直接约束 PBH 质量分布函数 $f_{PBH}(M)$ 在关键参数空间 ($M \sim 10^{16}g$) 的分布，进而验证或排除 PBH 作为暗物质的可能性。然而，这一科学目标的实现长期受困于两大技术壁垒：其一，蒸发 PBH 的辐射信号在 MeV 能段呈现宽谱特性 ($dN/dE \propto E_{-3}$)，易与活动星系核 (AGN) 的幂律辐射、超新星遗迹的 π^0 衰变连续谱等天体物理背景混淆；其二，现有康普顿望远镜 (如 COMPTEL) 在 1 MeV 附近的灵敏度仅达 $10^{-5} \text{ MeV}/(\text{cm}^2 \text{ s})$ ，难以探测 PBH 蒸发预期的微弱各向异性信号。

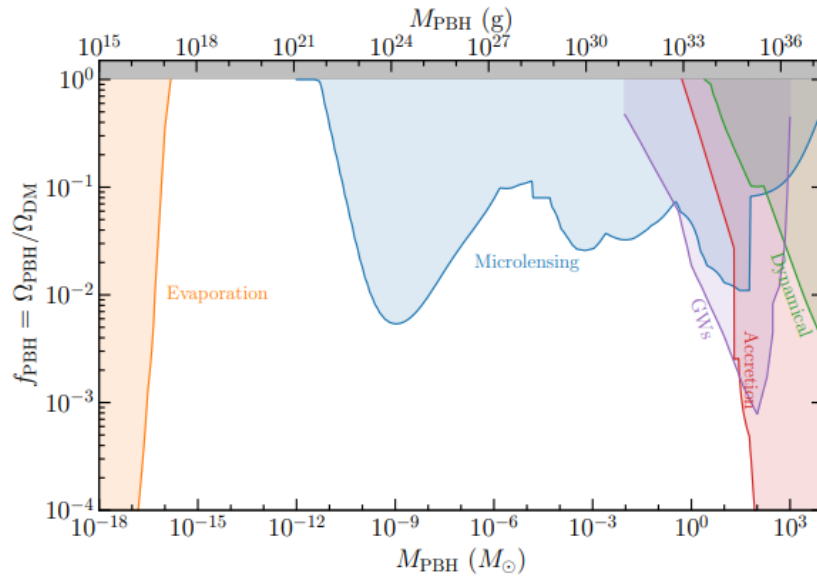


图 1.2 暗物质与原初黑洞

1.2 装置指标需求

1.2.1 水力模拟研究综述

河网非恒定流的水力特性模拟研究时水利、航运及环保等部门经常进行的工作^[2]。由于河网区域范围广大，因此只能采用数值方法进行模拟。……

……

……

(1) 水力数值模拟方法研究

按控制方程及对河网处理方式的不同，数值模拟方法可分为两大类：第一类为人们所熟知的圣维南方程组求解法，第二类为由法国 Jean A.Cunge 提出的所谓“组合单元法”^[2]。……

……

……

……

1.3 MeGaT 实验方案与指标预期

作为本文核心部分，作者深入系统地研究了平原河网水量水质数值模拟的正反两方面的问题。首次提出用“组合单元法”数值模拟平原河网水力水质特性，分别给出了水量、水质数值模拟的正问题的稀疏矩阵求解方程式及单元分组求解方程式，为平原河网水量水质数值计算开辟了一条新的途径。在正问题的基础上，首次提出：生成基本解，用基本解构造水质边界条件反问题及源项反问题，并采用优化方法中诸如简约梯度法等方法以及遗传算法等方法分别对无约束及有约束的非线性规划问题进行

求解。……

……

……

本文的主要研究内容见图1.3。

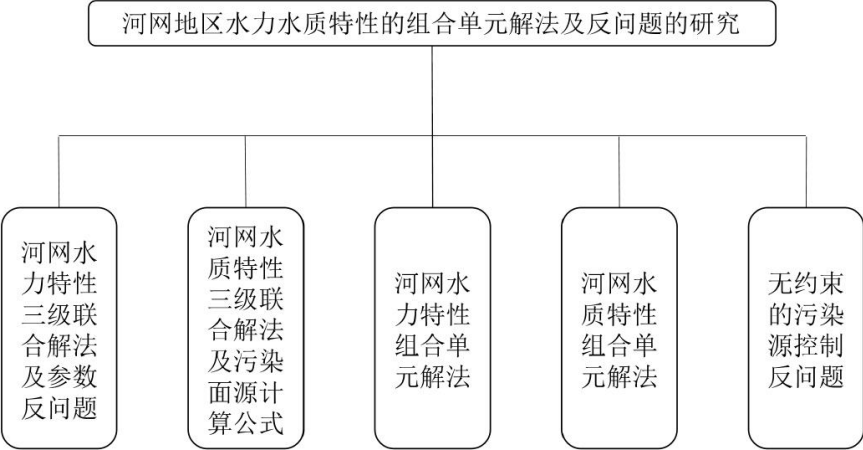


图 1.3 论文的主要研究内容

第 2 章 实验配置

2.1 MeGaT 实验方案概述

河网的非恒定流计算通常采用三级联合解法，此方法可归结为一维圣维南方程组的求解问题，即对组成河网的每条河道采用有限差分的隐式格式离散圣维南方程组，得到线性差分方程组。……

……

2.2 MeGaT 实验方案性能模拟优化

描述明渠一维非恒定流的基本方程为一维 Saint-Venant 方程组：

$$\frac{\partial Q}{\partial x} + B_w \frac{\partial Z}{\partial t} = q \quad (2.1)$$

$$\frac{\partial Q}{\partial t} + 2u \frac{\partial Q}{\partial x} + (gA - Bu^2) \frac{\partial Z}{\partial x} - u^2 \frac{\partial A}{\partial x} + g \frac{n^2 |u| Q}{R^{4/3}} = 0 \quad (2.2)$$

式中， t 为时间坐标； x 为空间坐标；……

……

……

2.3 TPC 探测器构建与性能研究

……

……

2.4 数据与模拟对比分析

……

……

2.5 算例分析

为了验证上述计算方法的可靠性，通常借用正问题的解来构造反问题。即先进行正问题计算，用其结果验证反问题的解。

……

……

计算结果见表2.1。

表 2.1 参数理论值与最优解

	b1	b2	b3
理论解	22	18	16
最优解 1	21.986	18.048	15.997
最优解 2	21.997	18.011	15.999

.....

.....

2.6 本章小结

本章采用平原河网三级联合解法水量模型模拟河网的水力要素，建立了平原河网水量模型，对位于长江下游的南通河网进行了模拟运算。

.....

.....

致谢

本文是在导师张长江教授的精心指导下完成的。值此论文完稿之际，谨向导师及所有帮助过我的各位表示诚挚的谢意。

.....

.....

还要特别感谢 hhu-thesis-bachelor 节省了论文排版的时间。

作者：韩中国
2016 年 12 月于南京